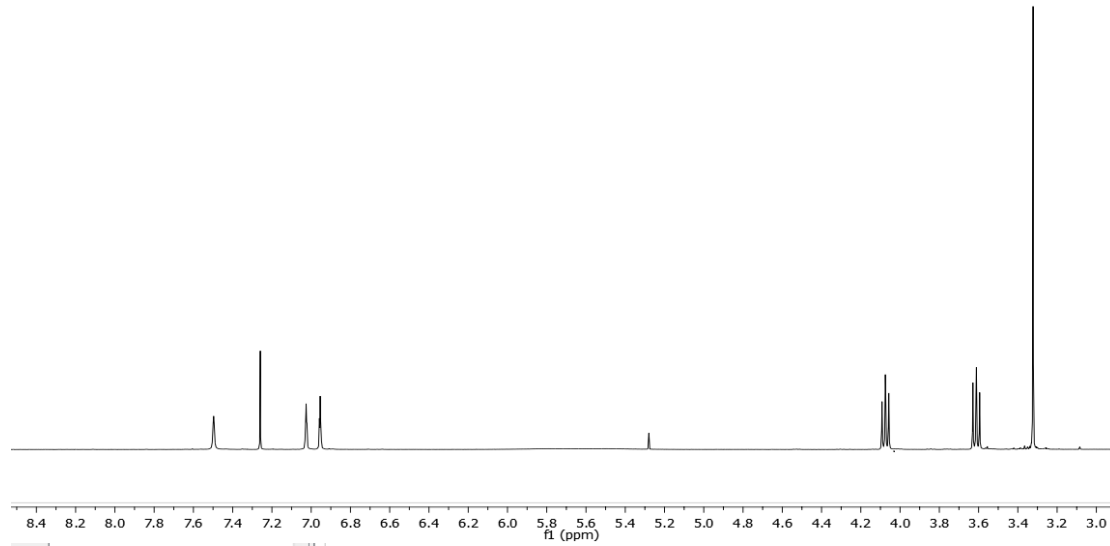
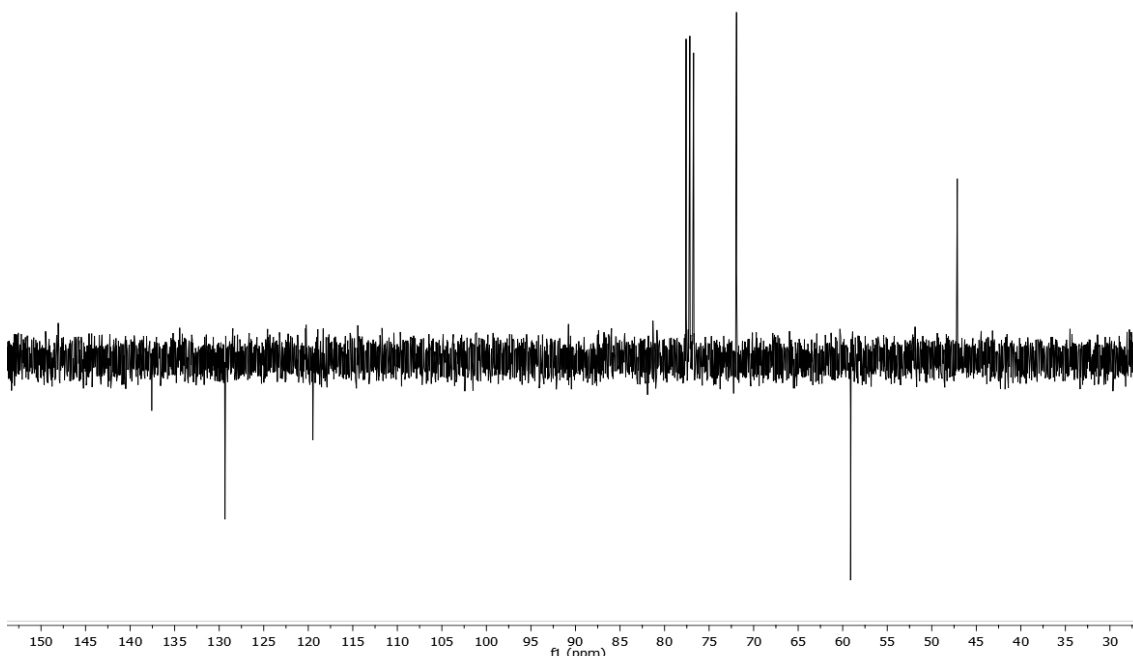


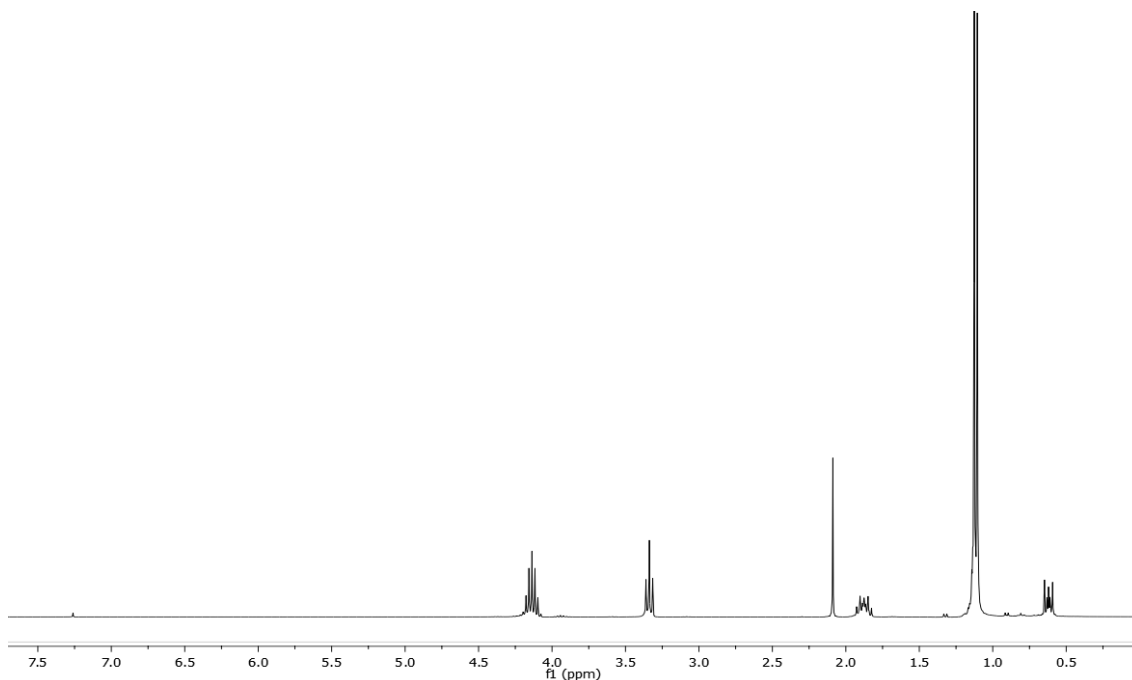
**A. ESPECTROS DE RMN DE  $^1\text{H}$ ,  $^{13}\text{C}\{^1\text{H}\}$ ,  $^{29}\text{Si}\{^1\text{H}\}$ ,  $^{13}\text{C}\{^1\text{H}\}$  CP-MAS  
Y  $^{29}\text{Si}\{^1\text{H}\}$  CP-MAS**



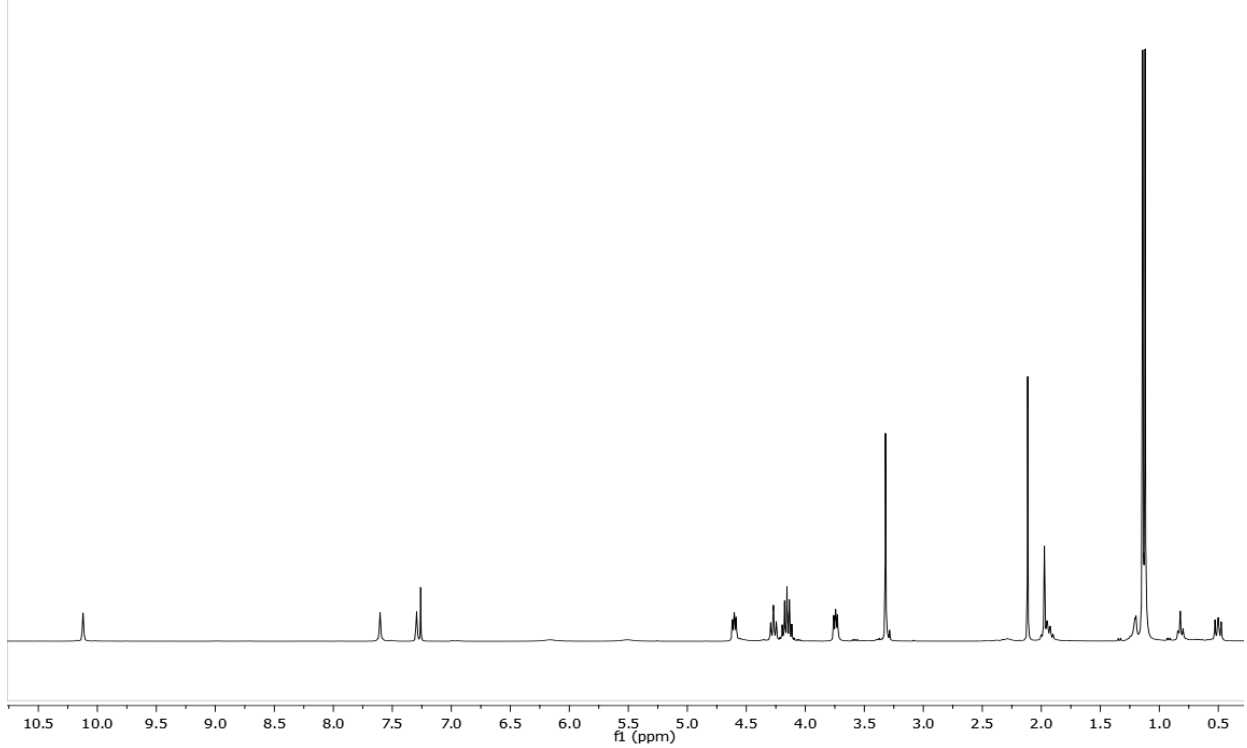
**A.1.** Espectro de RMN de  $^1\text{H}$  de (1)



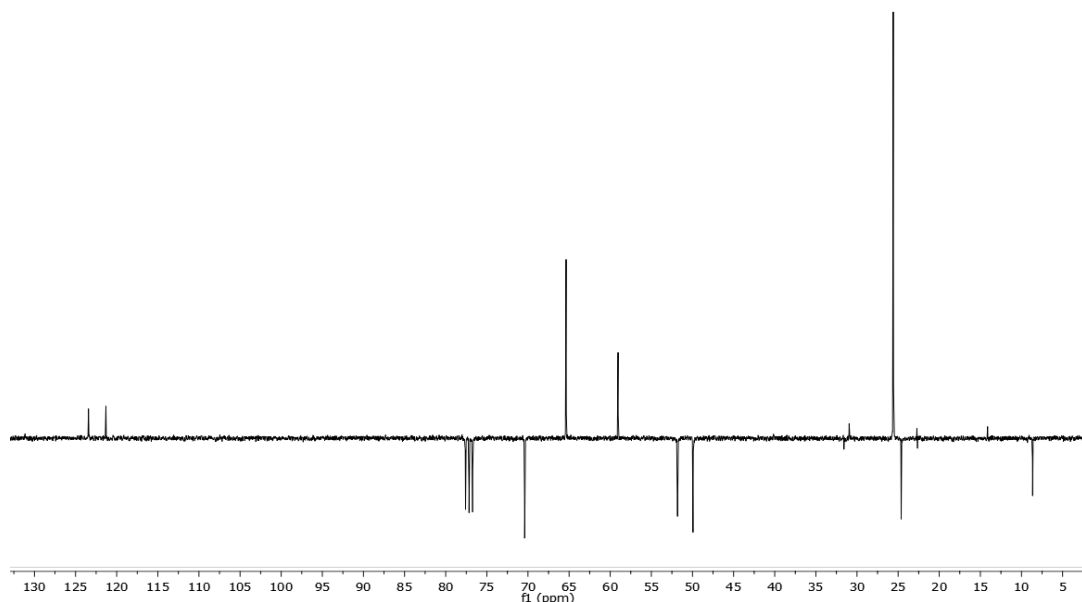
**A.2.** Espectro de RMN de  $^{13}\text{C}\{^1\text{H}\}$  de (1)



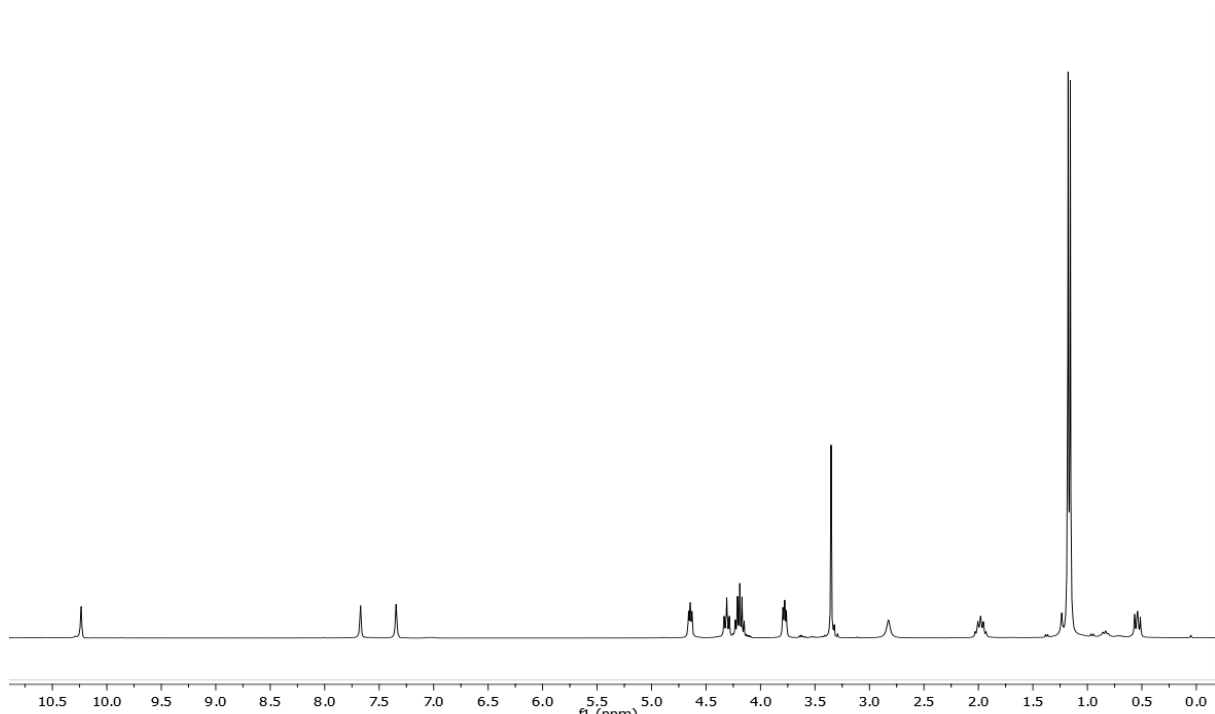
A.3. Espectro de RMN de <sup>1</sup>H de Br(CH<sub>2</sub>)<sub>3</sub>Si(O*i*Pr)<sub>3</sub>



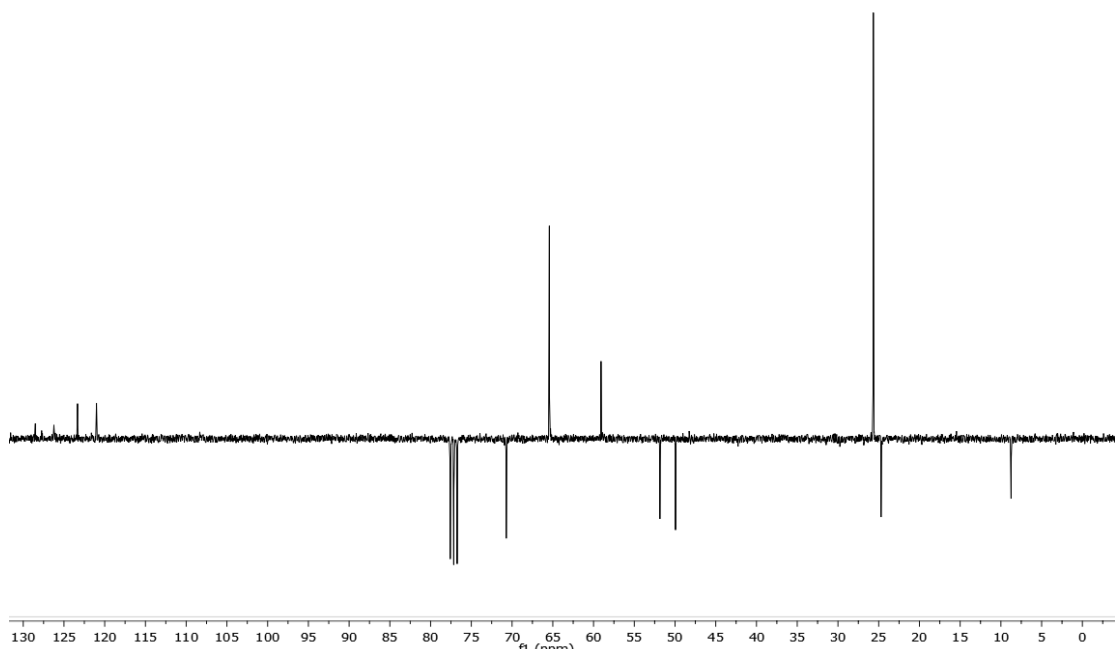
A.4. Espectro de RMN de <sup>1</sup>H de [2]Br



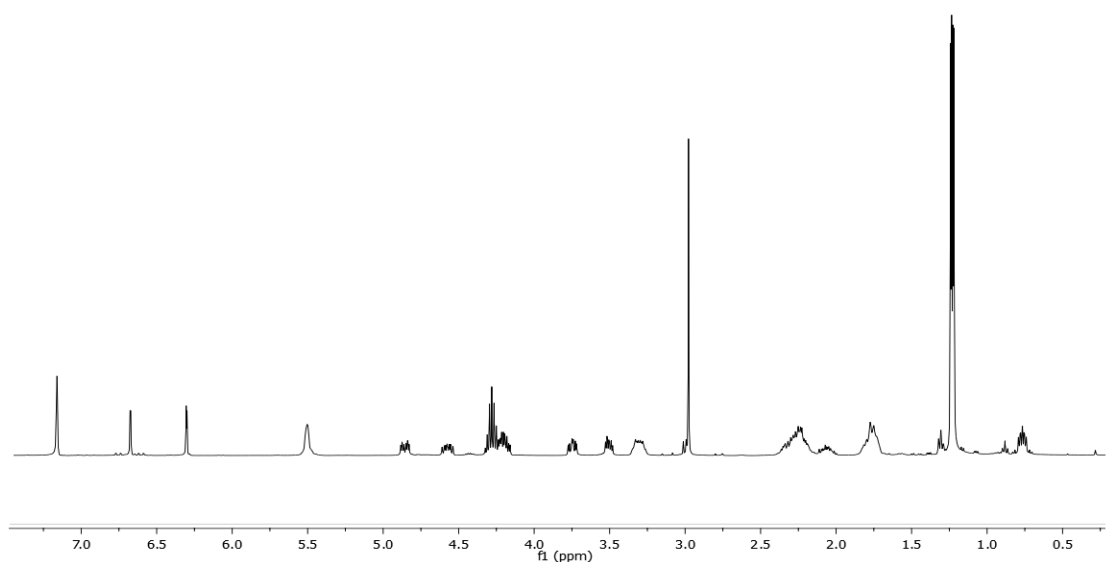
A.5. Espectro de RMN de  $^{13}\text{C}$  { $^1\text{H}$ } de [2]Br



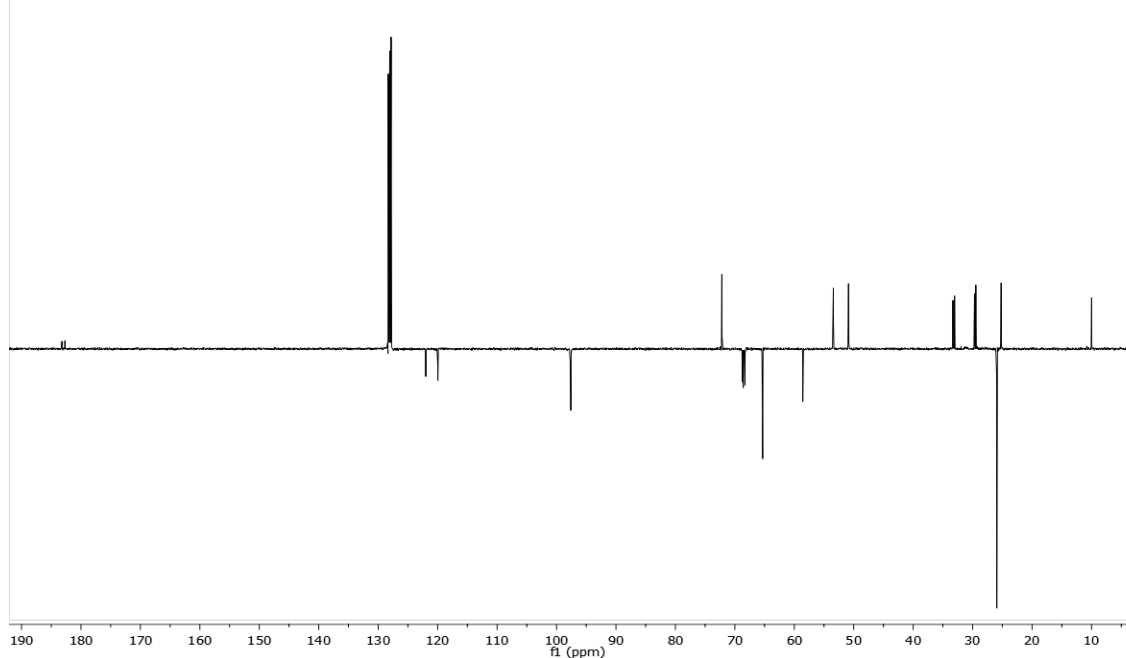
A.6. Espectro de RMN de  $^1\text{H}$  de [2]Cl



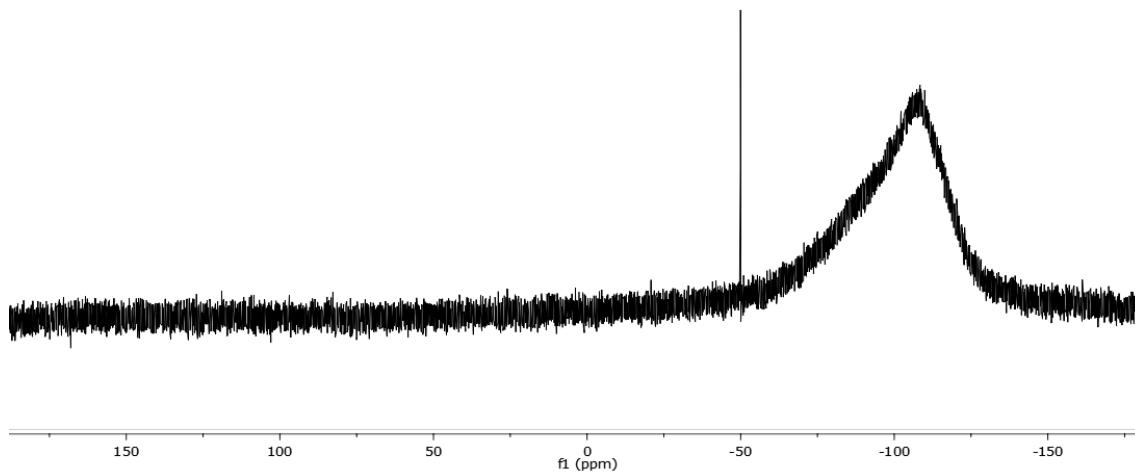
A.7. Espectro de RMN de  $^{13}\text{C}$   $\{^1\text{H}\}$  de **[2]Cl**



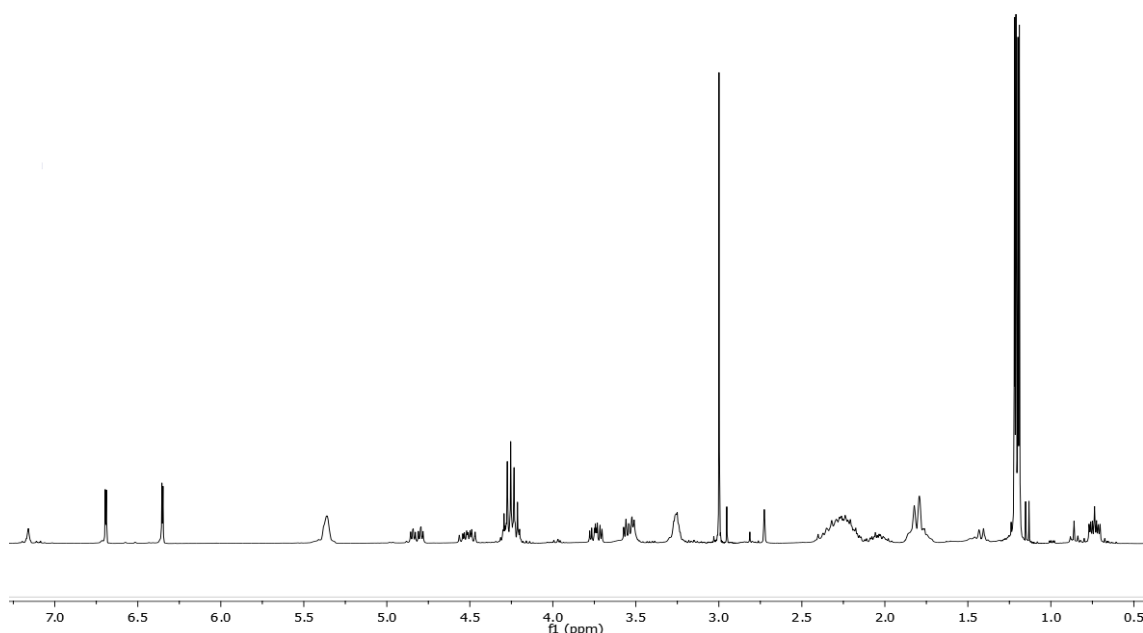
A.8. Espectro de RMN de  $^1\text{H}$  de **3a**



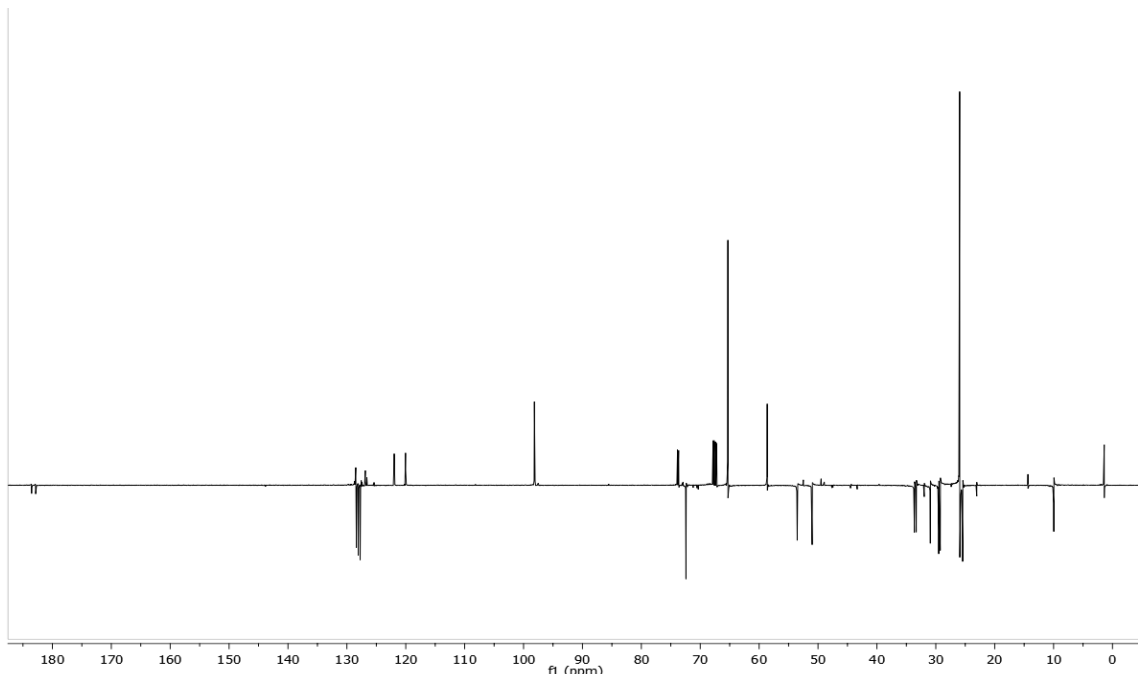
A.9. Espectro de RMN de  $^{13}\text{C}$  { $^1\text{H}$ } de **3a**



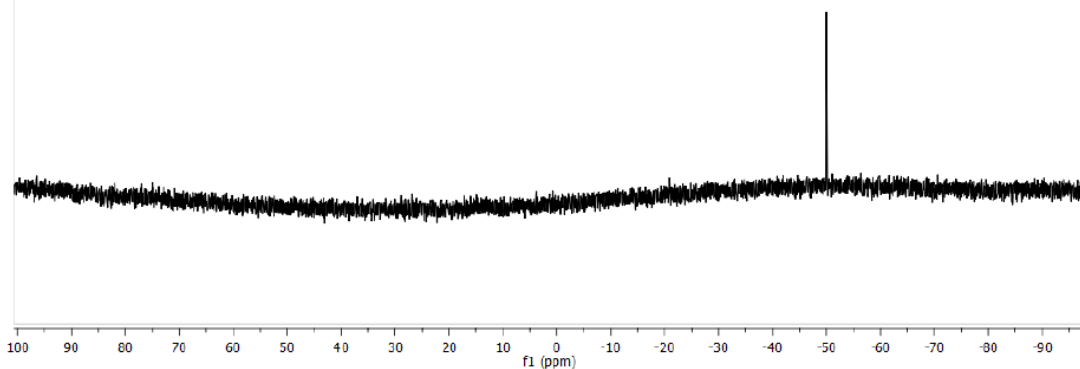
A.10. Espectro de RMN de  $^{29}\text{Si}$  { $^1\text{H}$ } de **3a**



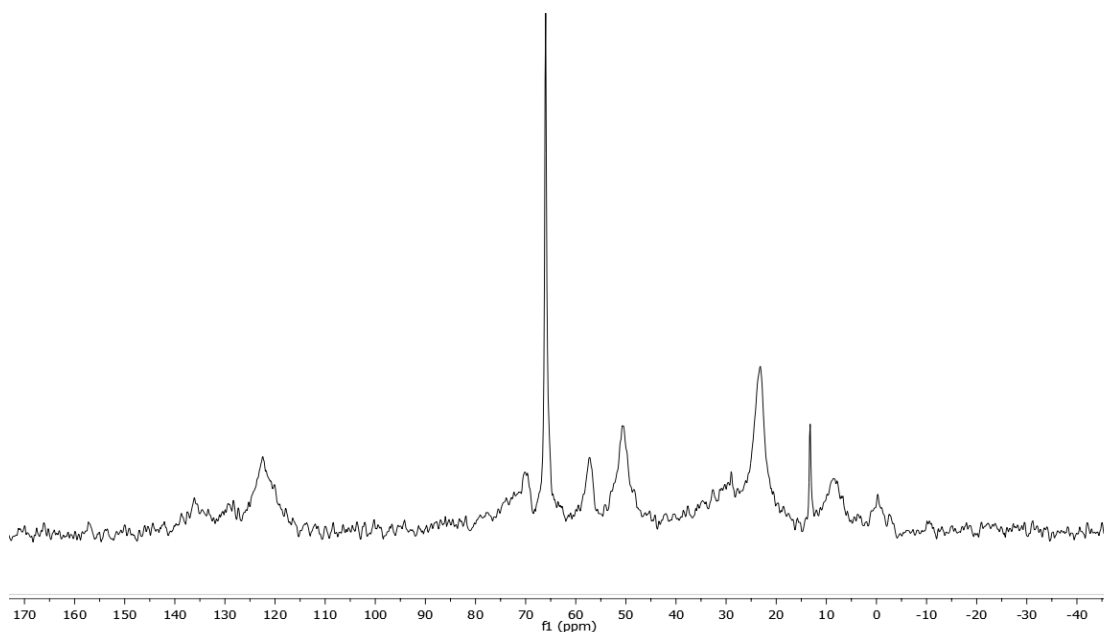
A.11. Espectro de RMN de  $^1\text{H}$  de **3b**



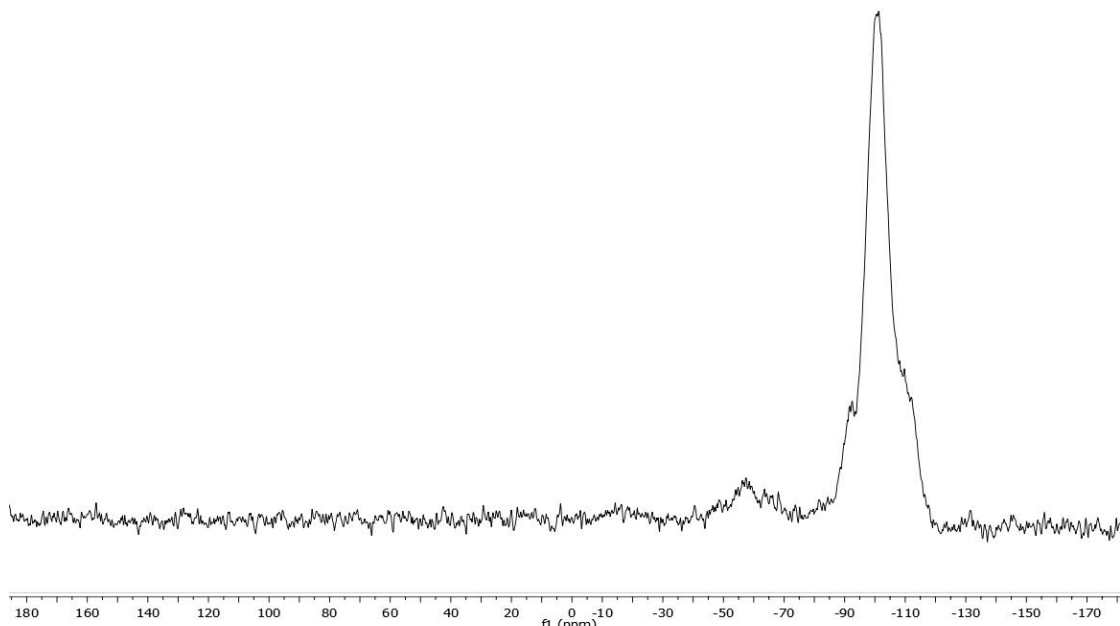
A.12. Espectro de RMN de  $^{13}\text{C} \{^1\text{H}\}$  de **3b**



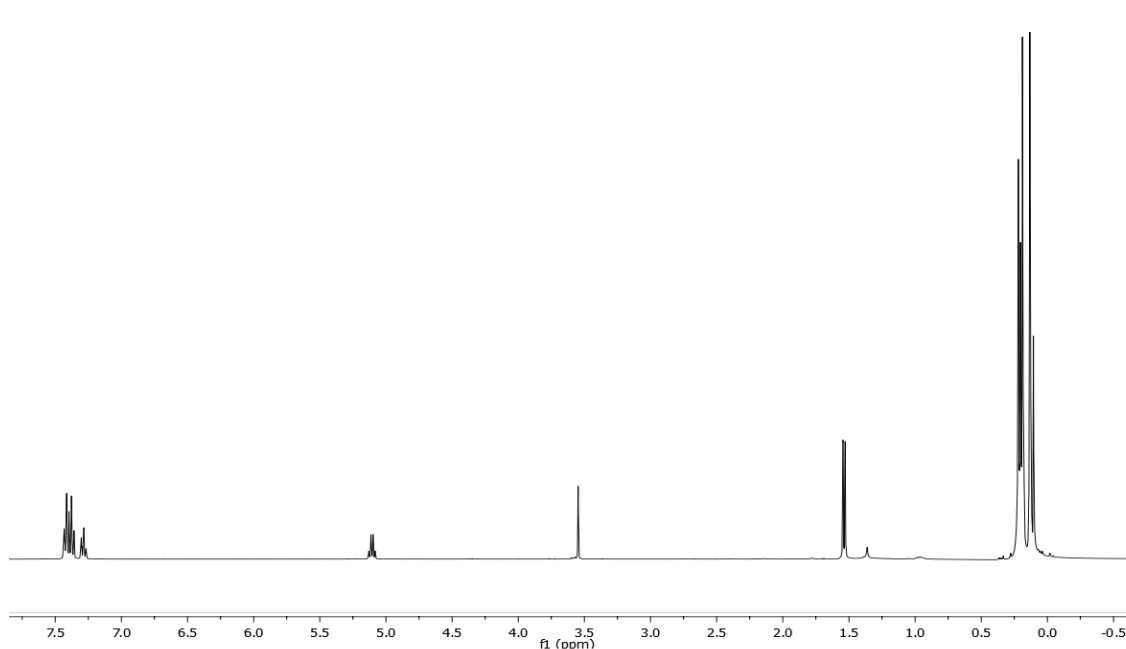
**A.13.** Espectro de RMN de  $^{29}\text{Si}$  { $^1\text{H}$ } de **3b**



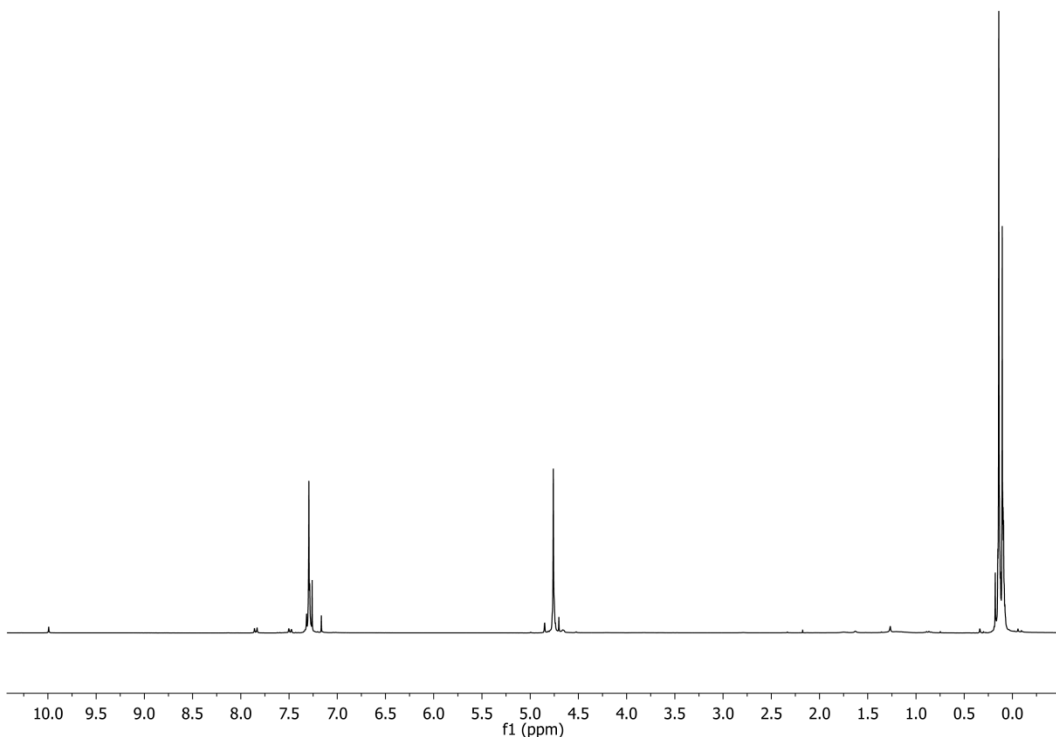
**A.14.** Espectro de RMN de  $^{13}\text{C}$  { $^1\text{H}$ } CP-MAS de **3b-MCM-41**



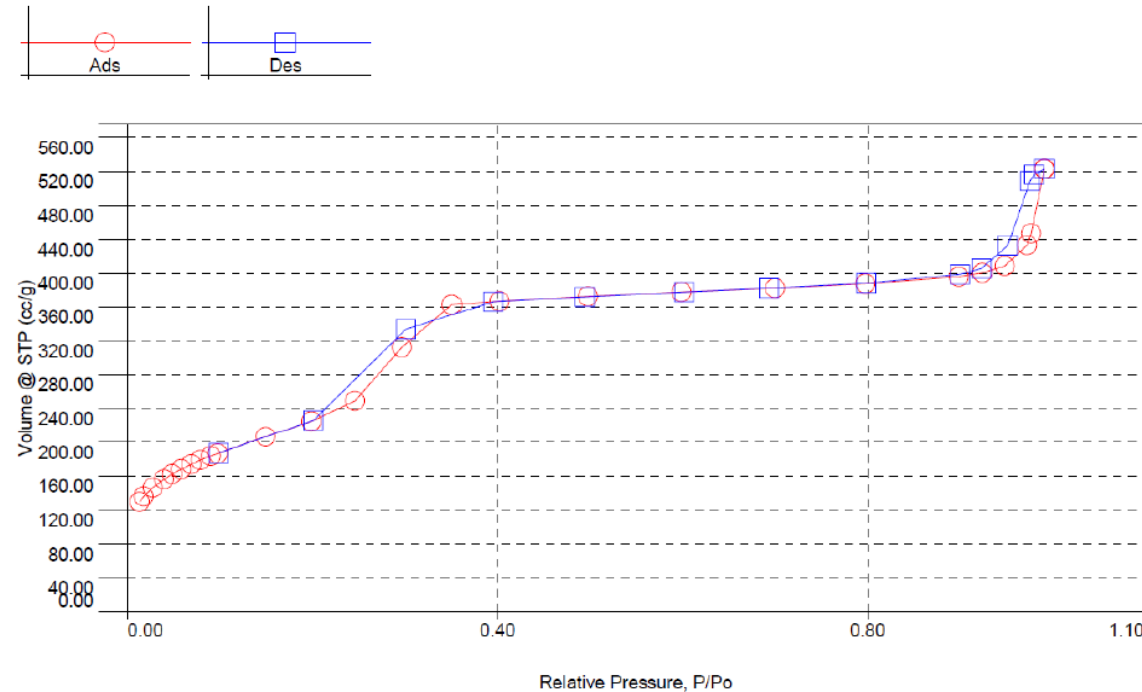
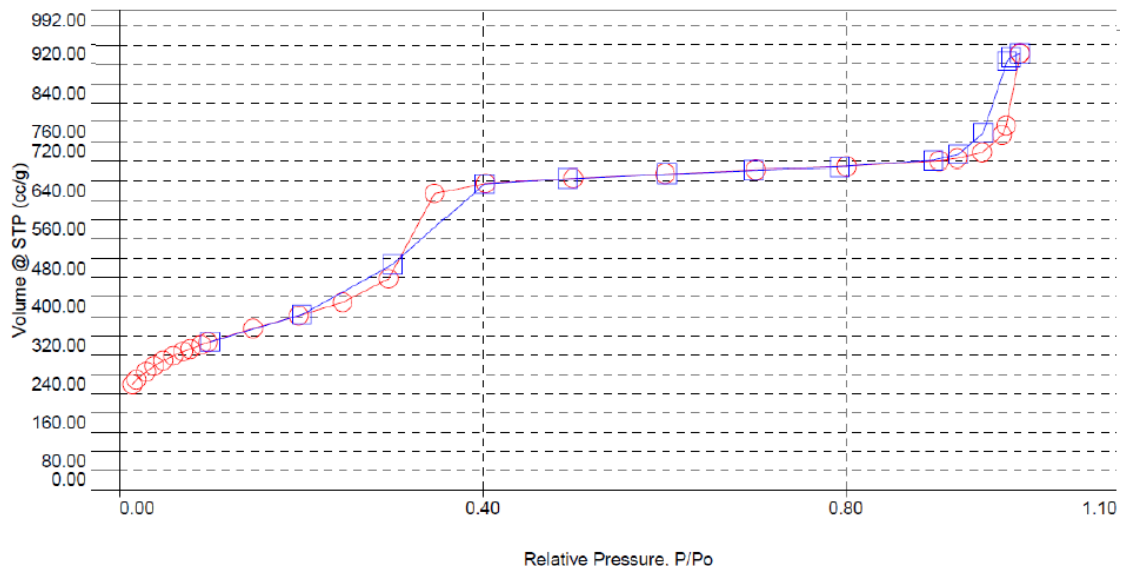
A.15. Espectro de RMN de  $^{29}\text{Si}$  { $^1\text{H}$ } CP-MAS de **3b-MCM-41**



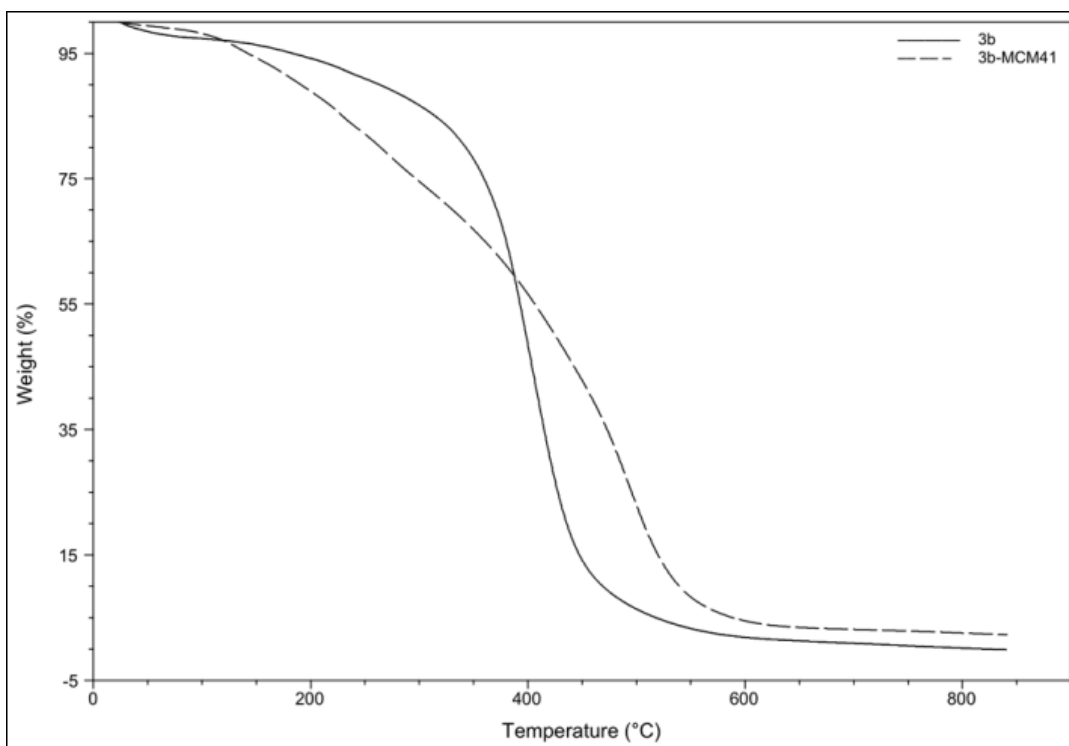
A.16. Espectro de RMN de  $^1\text{H}$  de **(4)**



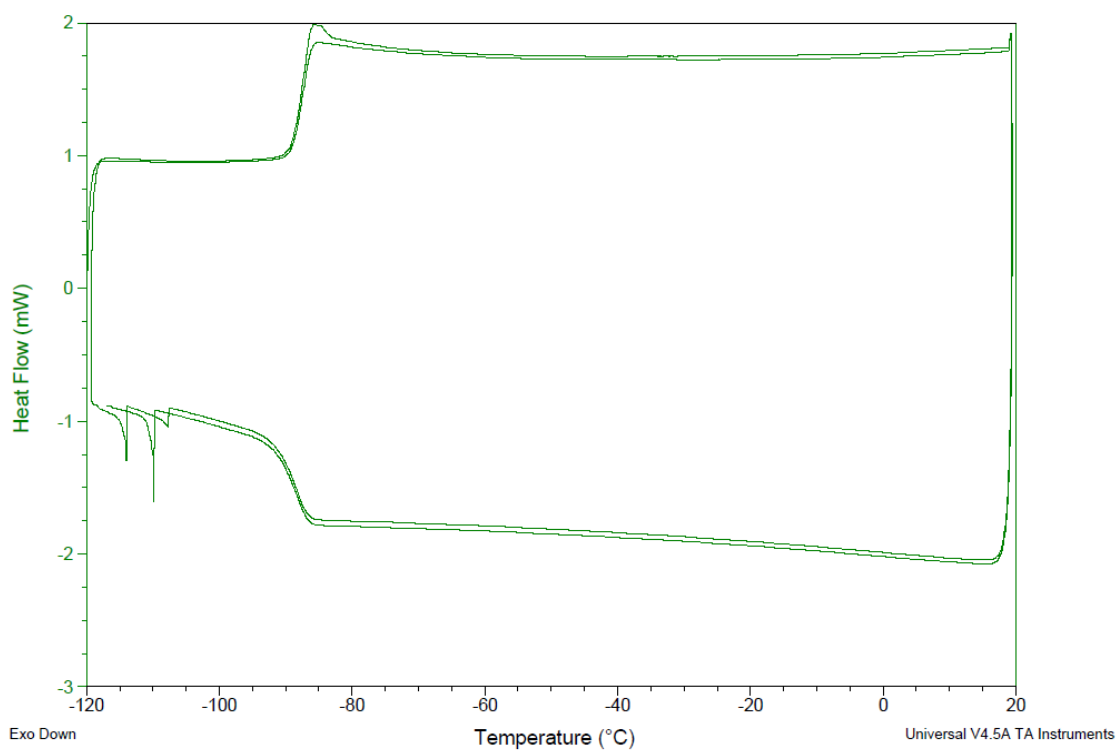
**A.17.** Espectro de RMN de <sup>1</sup>H de (5)

**B. ESTUDIOS DE ABSORCIÓN/DESORCIÓN DE N<sub>2</sub>****B.1.** Isoterma de absorción/Desorción de N<sub>2</sub> en 3b-MCM-41**B.2.** Isoterma de absorción/Desorción de N<sub>2</sub> en MCM-41

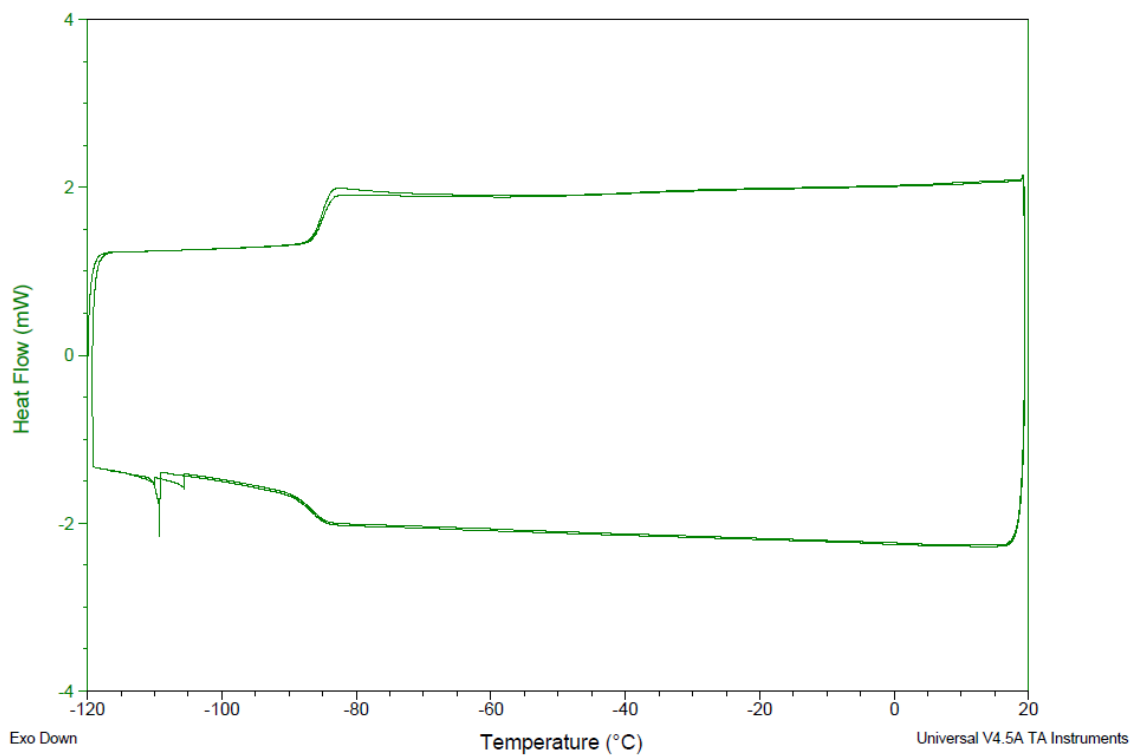
### C. ANALISIS TÉRMICO DE (5)



**C.1** Estudios de termogavimetría (TGA) de **5** sintetizados usando **3b** o **3b-MCM-41**



**C.2** Estudios de Calorimetría de Barrido Circular (DSC) de **5** usando **3b**



### C.3. Estudios de Calorimetría de Barrido Circular (DSC) de **5** usando **3b-MCM-41**